

EMag chap. 8 ARDS - Induct

1.1. Déf ARDS

→ un exemple mécanique pour commencer : chute libre report

https://www.youtube.com/watch?v=6l_gEp7Q1h8

• Extémité haute du report ne se met en mouvement que lorsqu'elle "reçoit l'information", i.e. quand elle est atteinte par l'onde de compression.

• Idem pour un stylo tenu vertical et lâché, Mais

- matériau bcp \Rightarrow raide

⇒ déformation invisible à l'œil

et onde de propagation bcp vite ($\sim 5000 \text{ m/s}$)

Car du stylo = on peut négliger la durée de propagation de l'onde devant la durée de chute libre du stylo

→ En EMI : dans les circuits élec^{tr} par exemple ARDS : une modif en un pt du circuit se répercute instantanément partout.

$$c_{\text{propag}} < T_{\text{caract}}$$

la v^o chere en mètres :

période T d'un réf. sinus p.e.

$$\lambda \gg \text{taille } L \text{ du circuit}$$

$$\lambda = \frac{c}{f}, f_{\text{lim}} \frac{c}{\lambda} = \frac{3 \cdot 10^8}{1}$$

$$f \ll 300 \text{ MHz}$$

R_g = adaptable à une "situation EMI" qcq.

$$1.2. \quad \left. \begin{aligned} \operatorname{div} \vec{E} &= \frac{\rho}{\epsilon_0} \sim 0 \\ \operatorname{rot} \vec{E} &= - \frac{\partial \vec{B}}{\partial t} \\ \operatorname{rot} \vec{B} &= \mu_0 \left(\vec{j} + \epsilon_0 \frac{\partial \vec{E}}{\partial t} \right) \end{aligned} \right\}$$

Géoms χ^i : T, L, E, B, j

$$R_f : \mu_0 \epsilon_0 = \frac{1}{c^2}$$

(cf. chap. DEM ride)

$$\frac{\left\| \mu_0 \epsilon_0 \frac{\partial \vec{E}}{\partial t} \right\|}{\left\| \operatorname{rot} \vec{B} \right\|} \sim \frac{\frac{1}{c^2} \frac{E}{T}}{B/L} = \frac{E}{B} \frac{L}{c^2 T}$$

Or M.Faraday :

$$\frac{E}{L} \sim \frac{B}{T} \Rightarrow E = \frac{BL}{T}$$

$$\sim \frac{L^2}{c^2 T^2} \quad \text{Or } \frac{L}{c} = \tau_{\text{puage}}$$

$$\sim \left(\frac{\tau_{\text{puage}}}{T} \right)^2 \ll 1 \text{ dans ARRLS.}$$

CLC°: dans l'ARLLS, le terme $\epsilon_0 \frac{\partial \vec{E}}{\partial t}$ est négligeable

2.1. Exemple simple d'une spire fermée ou quasi-fermée

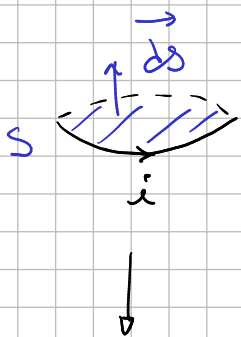
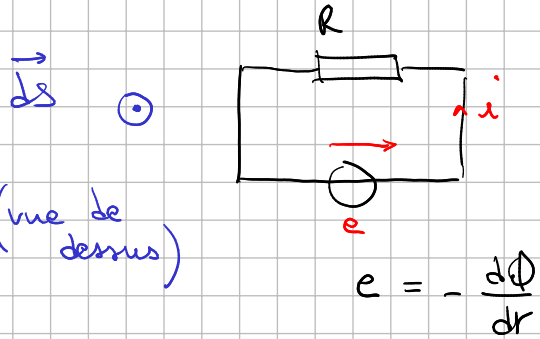
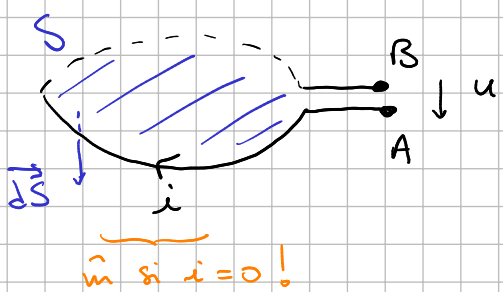


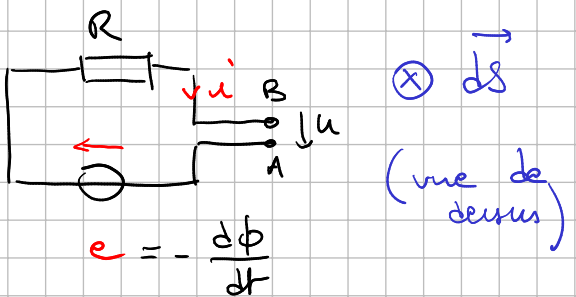
schéma équivalent



$\frac{1}{N_B}$
qui pointe
vers la surface
de la spire



sch. équivalent

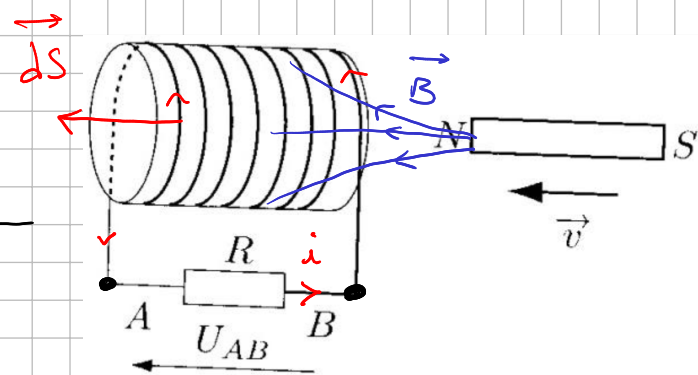
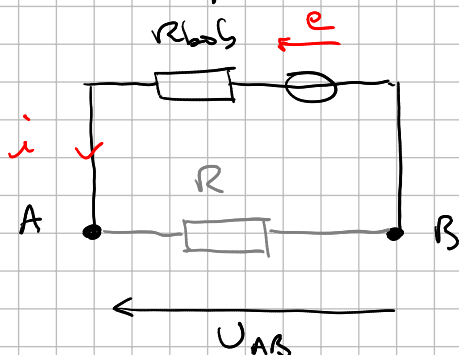


$$u = R_i - e_{(AB)}$$

$\underline{R_f}$: Attention, certaines situations ne peuvent pas être traitées avec cette version de la loi de Faraday

Exo bobine / aimant :

schéma équivalent



$$e = - \frac{d\phi_{bob}}{dt} \quad \text{avec } \phi_{bob} = N \phi_{spire}$$

$$\text{et } \phi_{spire} = \iint_S \vec{B} \cdot d\vec{s} \quad > 0 \text{ car} \\ \vec{B} \approx \text{un sens que}$$

l'aimant approche,

$$\|\vec{B}\| \text{ au niveau des spires } \uparrow \Rightarrow \phi_{spire} \uparrow \\ \Rightarrow \frac{d\phi_{bob}}{dt} > 0 \Rightarrow e < 0$$

Or c'est la fém e qui provoque
le courant i = la fém joue rôle d'une source de tension
Donc $i < 0$, donc $U_{AB} < 0$.

On: loi de la fém $e = (R_{bob} + R) i = (R_{bob} + R) \frac{U_{AB}}{R}$

2.5. circuit fixe

plongé dans $\vec{B}(t)$



$$\text{Méthode de Faraday : } \oint \vec{E} \cdot d\vec{l} = - \frac{d\Phi}{dt}$$

$$\iint_S \vec{E} \cdot d\vec{l} = \iint_S - \frac{\partial \vec{B}}{\partial t} \cdot d\vec{s} = - \frac{d\Phi}{dt}$$

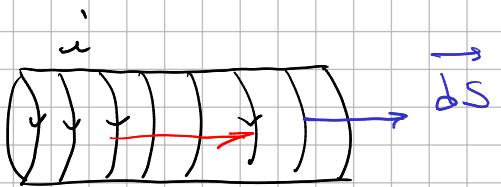
\downarrow

$\Phi_{(t)}$

Soit contour fermé (P) confondu
avec le circuit, orienté dans un sens quelconque
Soit S surface qui s'appuie sur (P)
et $d\vec{s}$ orientée avec main droite.

$$e = \iint_P \vec{E} \cdot d\vec{l} \neq 0!$$

3.3.



i : "i propre"

ϕ_{propre} prop et à "i propre".

Cette loi de proportionnalité définit le coeff. d'ind. propre

⚠ L est intpt de ϕ_{propre} et i_{propre}

L depd de la géom^{ie} du bobinage

Rq : Compte-tenu des orientations, \vec{B}_{propre} est de m^{ême} sens que dS donc $L > 0$.

On retrouvera ce résultat avec l'anj (pour géom^{ie} cyl)

→ Exple solénoïde = N spires, longueur p, sect^{re} S.

Avec hyp. solénoïde \Rightarrow (*i.e.* $L^2 \gg S$), $\vec{B} = \mu_0 \frac{N}{p} i \vec{u}_z$

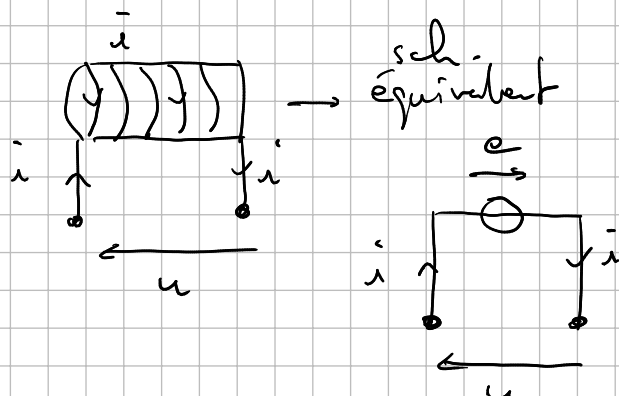
Or $\phi_{\text{bob}} = N \phi_{\text{propre}}$ et $\phi_{\text{propre}} = \iint_S \vec{B} \cdot d\vec{S}$

$$= \iint_S \mu_0 \frac{N}{p} i \vec{u}_z \cdot d\vec{S} u_z$$

$$\text{d'où } \phi_{\text{bob}} = \mu_0 \frac{N^2}{p} i S$$

CIC^o: $L = \mu_0 \frac{N^2}{p} S$

→ Dém^o de " $u = L \frac{di}{dt}$ " pour bobinage isolé



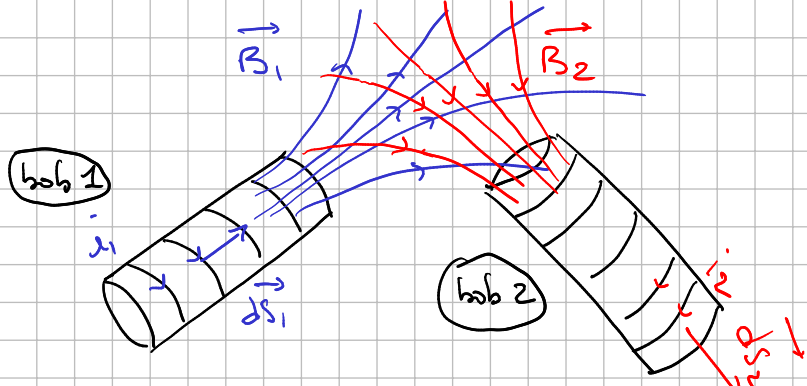
Lei maxiller = $u = -e = \frac{d\phi_{\text{bob}}}{dt}$

$$u = L \frac{di}{dt}$$

faraday

↑

3.4.



$$\phi_{1 \rightarrow 2} \text{ prop } \leftarrow i_1$$

$$\phi_{2 \rightarrow 1} \text{ prop } \leftarrow i_2$$

déf^o de $M_{1 \rightarrow 2}$ et $M_{2 \rightarrow 1}$ égale "M"

! M induit de i_1 et i_2 (et des flux)

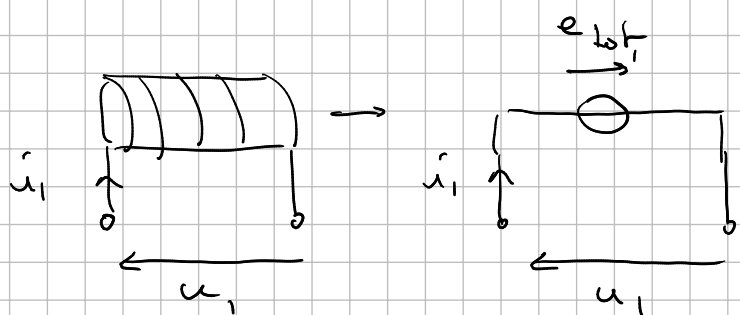
M d'apd des géom^{ie} des bobinages
et de leur orientation relative

→ Considerons bobine 1 :

$$\begin{aligned}\phi_{1\text{tot}} &= \phi_{\text{propre}} + \phi_{2 \rightarrow 1} \\ &\text{dans 1} \\ &= L_1 i_1 + M i_2\end{aligned}$$

Ideau pour bobine 2 : $\phi_2 = L_2 i_2 + M i_1$

→ Schéma équivalent bobine 1 :

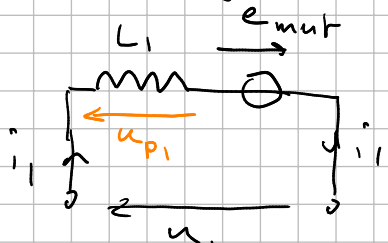


$$\begin{aligned}e_{1\text{tot}} &= - \frac{d\phi_{1\text{tot}}}{dt} \\ &= - L_1 \frac{di_1}{dt} - M \frac{di_2}{dt}\end{aligned}$$

R_f : on pourra trouver un schéma (linéar, canonique concerné) :

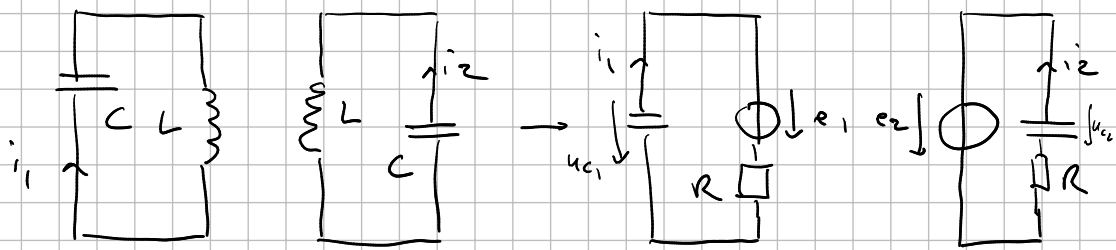
sch. équival :

$$u_{p1} = L_1 \frac{di_1}{dt}$$



$$\begin{aligned}e_{\text{mut}} &= - \frac{d\phi_{2 \rightarrow 1}}{dt} \\ &= - M \frac{di_2}{dt}\end{aligned}$$

→ Exercice :



$$\text{Loi de Kirchhoff} = e_1 = R i_1 + u_{C_1}$$

$$\frac{de_1}{dt} = R \frac{di_1}{dt} + \frac{i_1}{C}$$

$$\text{idem : } \frac{de_2}{dt} = R \frac{di_2}{dt} + \frac{i_2}{C}$$

$$\text{avec } \left\{ \begin{array}{l} e_1 = - \frac{d\mathcal{D}_1}{dt} = -L \frac{di_1}{dt} - M \frac{di_2}{dt} \\ e_2 = -L \frac{di_2}{dt} - M \frac{di_1}{dt} \end{array} \right.$$

Diff complété...
il faut $i_2(t)$

$$\text{d'où } \left\{ \begin{array}{l} L \frac{d^2 i_1}{dt^2} + M \frac{d^2 i_2}{dt^2} + R \frac{di_1}{dt} + \frac{i_1}{C} = 0 \end{array} \right.$$

$$\text{idem : } L \frac{d^2 i_2}{dt^2} + M \frac{d^2 i_1}{dt^2} + R \frac{di_2}{dt} + \frac{i_2}{C} = 0$$

$$\text{Somme m.a.m : } (L+M) \frac{d^2 s}{dt^2} + R \frac{ds}{dt} + \frac{s}{C} = 0$$

$$\boxed{\frac{d^2 s}{dt^2} + \frac{R}{L+M} \frac{ds}{dt} + \frac{1}{(L+M)C} s = 0}$$

$$\text{avec } s = i_1 + i_2$$

$$\text{Diff m.a.m : } \boxed{\frac{d^2 D}{dt^2} + \frac{R}{L-M} \frac{dD}{dt} + \frac{1}{(L-M)C} D = 0}$$

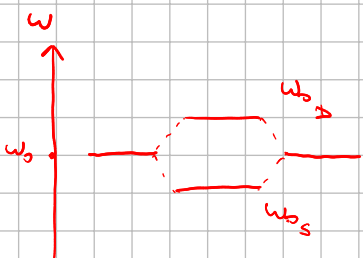
NB : on verra que $L \geq M$.

$$\text{avec } D = i_1 - i_2$$

$$\text{En négligeant } R : \quad s + \omega_0^2 s = 0 \quad \text{et} \quad D + \omega_0^2 D = 0$$

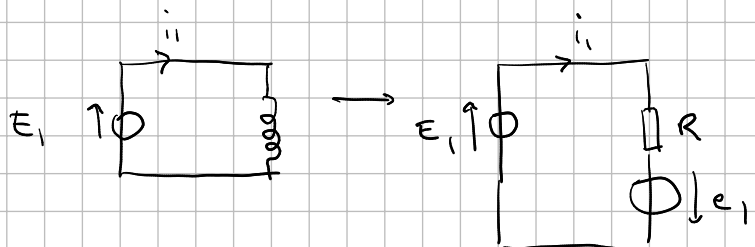
$$\text{avec } \left| \begin{array}{l} \omega_0^2 s = \frac{1}{\frac{1}{\omega_0^2} + \frac{1}{\delta w^2}} \\ \omega_0^2 D = \frac{1}{\frac{1}{\omega_0^2} - \frac{1}{\delta w^2}} \end{array} \right| \begin{array}{l} s(t) = S_0 \cos(\omega_0 t + \varphi_s) \\ D(t) = D_0 \cos(\omega_0 t + \varphi_D) \end{array}$$

$$\left| \begin{array}{l} \omega_0^2 = \frac{1}{LC} \\ \delta w^2 = \frac{1}{MC} \end{array} \right| \begin{array}{l} i_1(t) = \frac{s+D}{2} = \dots \\ i_2(t) = \frac{s-D}{2} = \dots \end{array}$$



NB : Intérêt des coeff. d'inductance = travailler avec les flux magnétiques SANS calculer des intégrales.

3.5.



les marques :

$$E_1 = R_{ii} - e_1$$

$$E_1 i_1 = R_{ii}^2 + \frac{d}{dt} \left(\frac{1}{2} L_{ii}^2 \right)$$

$$e_1 i_1 = - \frac{d\phi_i}{dt} \times i_1 = - L \frac{di_1}{dt} \times i_1 = - \frac{d}{dt} \left(\frac{1}{2} L_{ii}^2 \right)$$

d'où

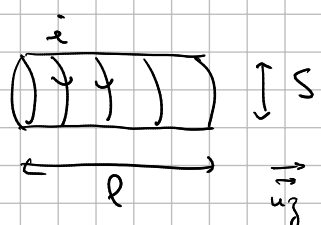
$$E_1 i_1 = R_{ii}^2 + \frac{d}{dt} \left(\frac{1}{2} L_{ii}^2 \right)$$

Première par alim

Première par R et décrite par Tente

Première par bobine et qui fait varier le stockage $\frac{1}{2} L_{ii}^2$

→



$$\vec{B} = \mu_0 \frac{N}{l} i \vec{w_j}$$

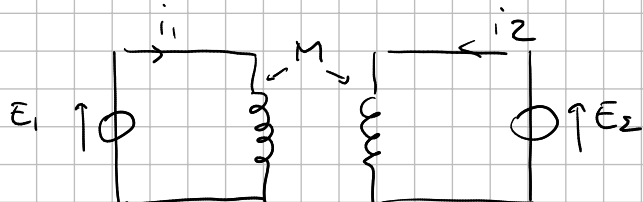
$$E_{mag} = \int \frac{\vec{B}^2}{2\mu_0} d\vec{l} = \mu_0 \frac{N^2}{2l^2} i^2 S \geq 0$$

$$\text{Or } L = \mu_0 \frac{N^2}{l^2} S$$

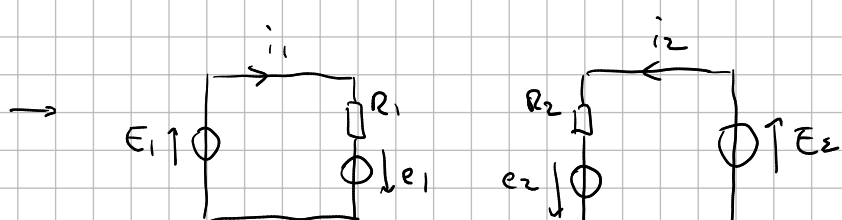
$$\text{donc } E_{mag} = \frac{1}{2} L i^2 \geq 0 \Rightarrow L \geq 0$$

CIC = n°1 stockée "parabolique" s'identifie à celle stockée par B

3.6.



$$e_1 = -L_1 \frac{di_1}{dt} - M \frac{di_2}{dt}$$



$$e_2 = -L_2 \frac{di_2}{dt} - M \frac{di_1}{dt}$$

Lei veiller peris " i_1 " et " i_2 " =

$$E_1 i_1 = R_{1,1}^2 + i_1 \left(L_1 \frac{di_1}{dt} + M \frac{di_2}{dt} \right)$$

$$E_2 i_2 = R_{2,2}^2 + i_2 \left(L_2 \frac{di_2}{dt} + M \frac{di_1}{dt} \right)$$

Somme :

$$\boxed{\underline{E_1 i_1 + E_2 i_2 = R_{1,1}^2 + R_{2,2}^2 + \frac{d}{dt} \left(\frac{1}{2} L_{1,1} i_1^2 + \frac{1}{2} L_{2,2} i_2^2 + M i_1 i_2 \right)}}$$

$$E_{mag} = \frac{1}{2} L_{1,1} i_1^2 + \frac{1}{2} L_{2,2} i_2^2 + M i_1 i_2.$$

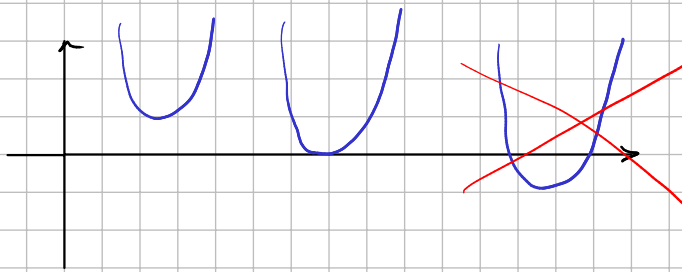
→ Or $E_{mag} = \left| \frac{B^2}{2\mu_0} \Delta x \right| \geq 0$

Variez B
dès que B

donc $\frac{1}{2} L_{1,1} i_1^2 + \frac{1}{2} L_{2,2} i_2^2 + M i_1 i_2 \geq 0 \quad \forall (i_1, i_2)$

Possus $x = \frac{i_2}{i_1}$, on a $\frac{1}{2} L_2 x^2 + Mx + \frac{1}{2} L_1 \geq 0 \quad \forall x$

Graphique :

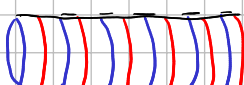


$$\Delta \leq 0$$

avec $\Delta = M^2 - 4x \frac{L_1 L_2}{4}$

d'où $M^2 \leq L_1 L_2$

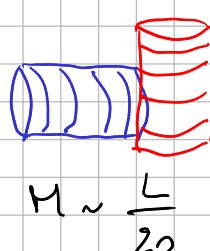
3.7.



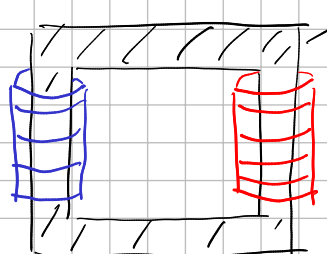
$$M \sim L$$



$$M \sim \frac{L}{5}$$



$$M \sim \frac{L}{20}$$



$$M \sim 0,9 L$$

circuit ferro